

### III - 3

### 有機物量から見た泥炭性土の二次圧縮指數について

防衛大 山口 晴幸・大平 至徳  
木暮 敏二・平松 道生

まえがき 無機質粘土の二次圧縮領域での圧縮量は対数時間に比例するとしてみており、その挙動を表示する尺度として二次圧縮指數  $E_a = \frac{\Delta e}{\log t}$  ( $e$ : 乾燥ひずみ,  $t$ : 時間) 及び二次圧縮指數  $C_a = \frac{e}{\log t}$  ( $e$ : 乾燥ひずみ) が用いられる。また無機質粘土では先行圧密応力 ( $\sigma_y$ ) より大きな応力範囲での  $E_a$ ,  $C_a$  値は圧密圧力 ( $\sigma_v$ ) 及び荷重増加率 ( $m$ ) によらないとされている。本文は低有機質土のみならず植物繊維分を主体として構成されている泥炭(ピート)についても、上述のことが適用できるか否かを検討したものである。

試料と実験 3種類の乱さない試料を用い、標準圧密試験法に準拠して一軸圧密試験を実施した。表1は各試料の主な物理的指數値を示す。試料石狩は北海道江別市郊外の石狩川流域に分布する泥炭地盤から、また袋井と大宮はそれぞれ静岡県袋井市と埼玉県大宮市近郊から採取したもので、石狩は粘土、有機質土ピートとに、袋井と大宮は共にピートに分類される試料である。

結果と考察 図1は試験条件を同一にして、土に含まれている有機物量(強熱減量  $L_{ig}$  を表示)に着目し、その含有量の程度によつて、沈下(ひずみ)-時間曲線がどのように推移するかを、また図2は自然間隙比( $e_n$ )と  $L_{ig}$  値がほぼ等しいものについて、荷重増加率( $m$ )と圧密応力( $\sigma_v$ )状態を異にした場合について示したもので、いずれも  $\sigma_v > \sigma_y$  ( $r = \sigma_v/\sigma_y < 1$ ) の応力範囲での挙動がプロットされている。両図で二次圧縮領域とみなせる部分に注目すると、低有機質土のみならずピートについても  $E_a = \frac{\Delta e}{\log t} = \text{const.}$  とみなせる領域が存在する。またピートでも  $E_a$  の値は  $\sigma_v$  および  $\sigma_y$  ( $\sigma_v > \sigma_y$ ) に依存しないとみなせる。上記のことと明瞭にしたのが図3, 4 ( $E_a$ - $\sigma_v$  関係) と図5 ( $E_a$ - $L_{ig}$  関係) である。(なお) 図3, 4 で  $E_a$  がほぼ一定値を取り始める応力( $\sigma_v$ )は  $\sigma_y$  近い応力値であった。一般に  $L_{ig} \geq 20\%$  しかも繊維質の(未分解)有機物から構成されるものはピートとして分類されるところから、図5(木暮ら、山内ら、川口らのデータ併記)より、石狩試料でのピートの  $E_a$  値を見ると、それは粘土( $E_a=3\sim 4$ )

Samples		Ishikari	Fukuro	Ohmiya
Soil		Clay Organic soil Peat	Clay Organic soil Peat	Clay Organic soil Peat
Natural water content	% (t)	40 - 330	540 - 1260	280 - 570
Natural water ratio	(e)	1.1 - 6.5	11 - 23	5.8 - 10
Degree of saturation	Sr (%)	92 - 100	98 - 100	95 - 100
Specific gravity	Gs (t)	1.93 - 2.68	1.59 - 1.94	1.90 - 2.25
Ignition loss	Lig (%)	4 - 55	52 - 78	55 - 68
Degree of humification	H (%)	51 - 100	-	45 - 60

Table-1

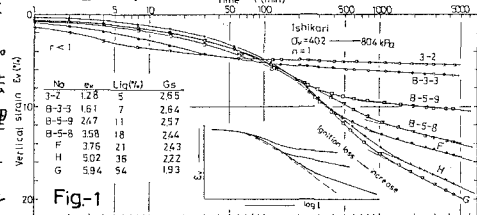


Fig-1

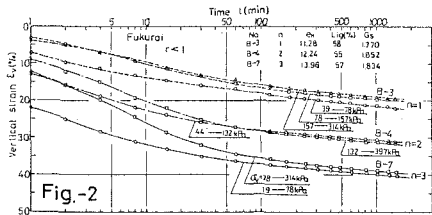


Fig-2

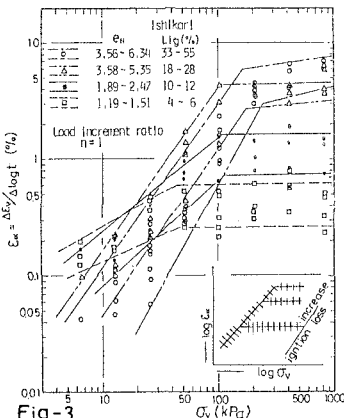


Fig-3

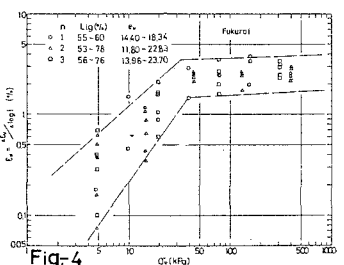


Fig-4

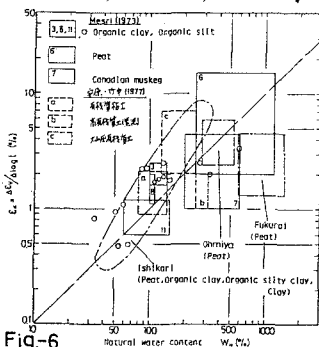


Fig-6

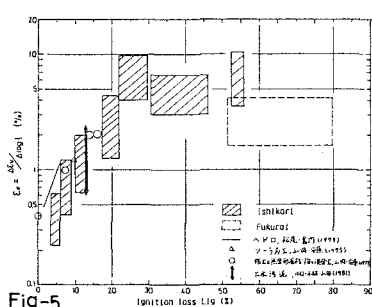


Fig-5

の約10倍と非常に大きい値を示していることがわかる。さらに、各種の土質について Meshi が  $\epsilon_a$  値と自然含水比( $e_u$ )との関係まとめた図-6に、本結果と国内の有機質土について安原ら<sup>9)</sup>がとりまとめた結果を併記してある。これによると国内外の土質にとわらず、 $\epsilon_a$ - $e_u$  関係は非常に類似する傾向を示すと言える。

一方、剪断比( $\epsilon$ )の変化を表示した二次圧縮指數  $C_c = \Delta\epsilon / \log \sigma_v$  と比例関係にあるとしている。

そこで  $\epsilon_a$ - $C_c$  関係について、有機物の含有量( $Lig$ )度合から検討を加え整理したのが図-7～13である。ピートも含む軟弱土の  $C_c$  は図-7, 8 の上半分に示すように、 $\sigma_v$  の関数とみなすより適切ではないことは以前から指摘されていることである。特に  $Lig$ (core  $\epsilon_u$ ) の高い土ほど、 $\sigma_v$  に伴う  $C_c$  の変化は大きく、ある应力でピーカー値を取り傾向を示す。またこれに対応するように  $\epsilon_a$ - $\sigma_v$  関係(図-7, 8 の下半分)も変化する。

$C_c = \Delta\epsilon / \log \sigma_v$  の最大値での  $\sigma_v$  の値( $\sigma_0$ )を  $\sigma_y$  との関係で示すと図-9 のようになり、 $\sigma_0 \approx 2\sigma_y$  と近似できる。このことから、 $\sigma_0$  附近的応力値で、自然状態で形成されていた工構造は急激な圧縮を受ける、大きく変形すると推察される。さらに、図-7, 8 から、 $C_c/C_a = \text{const.}$  という関係が粘土のみならずピートに至る有機質土にも適用できそうであることがうかがわれる。

これを示したのが図-10～13である。しかし、図-10 に示すように  $r = \sigma_0 / \sigma_y$  では有機物含有量の程度によらず、 $C_c$  と  $C_a$  との対応関係の取る範囲が規定されていない。これに対して図-11 では有機物含有量によらず、 $C_c$  が直線でなく対応値の取る領域もほぼ定められ(図-11)。

さらにこの関係( $C_c/C_a = \text{const.}$ )が  $Lig$  によっては、 $\epsilon_a$ - $C_c$  関係にも適用できる(図-12)。このことは、粘土や有機質土の  $\epsilon_a$ - $C_c$  関係は応力状態によらないことを意味する(すなはち、大積載正規圧密粘土の  $\epsilon_a$  とは過圧密粘土のそれに近づく)としていることを支持するものである。また図-13 から、粘土に対する指摘されることは同様に、ピートでも  $\epsilon_a$  の直線は荷重増加率(%)に依存しないと言えるであろう。以上のことから、二次圧縮指數について粘土(無機質)に関する限りで言ふことばく、低圧密工の高圧密有機質土に至る工にかけて拡張ひき可塑性を明らかにした。今後、ステンレス線と有機質土の力学的性質も含め

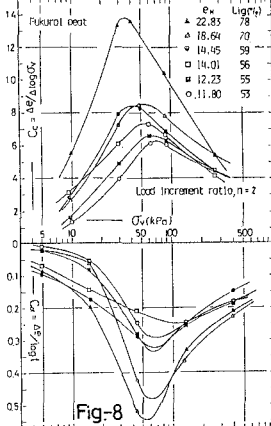
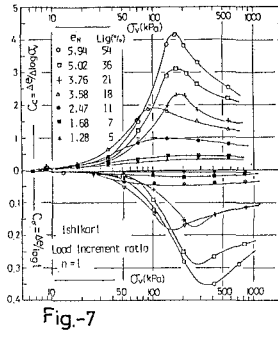
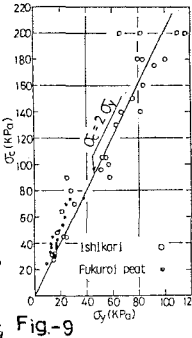


Fig. 7

Fig. 8

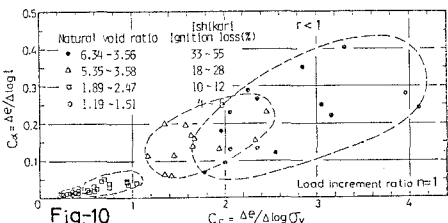


Fig. 10

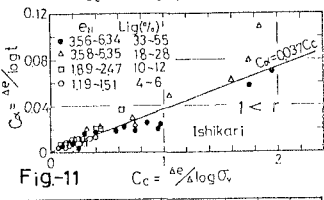


Fig. 11

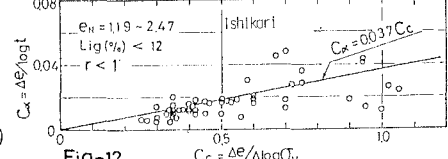


Fig. 12

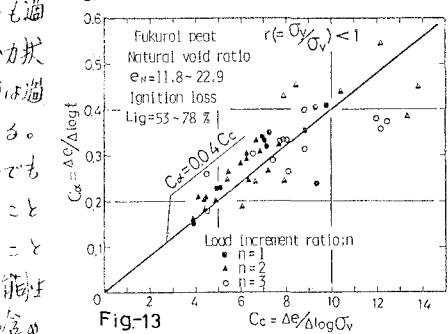


Fig. 13

7. さらに飛躍して行く(必要がある)。(参考) 1) Buisman (1936); 1st ICSMFE, Vol. 1, pp. 103-106. 2) Meshi (1973); Proc., ASCE, Vol. 99, No. ST1, pp. 123-137. 3) Wahls (1962); Proc., ASCE, Vol. 88, No. ST6, pp. 207-231. 4) 安原他(1979); 第3回工学会年次講演会, 東京, pp. 78-99. 5) 石川他(1973); 土木学会論文報告集 No. 207, pp. 103-113. 6) Yamamotochi et al. (1978); Soil, Vol. 15, No. 1, pp. 69-79. 7) 山口他(1977); 第12回工土工学会研究発表会, pp. 153-156. 8) 木村他(1981); 土と基礎, Vol. 29, No. 3, Ser. No. 29, pp. 31-36. 9) 安原他(1977); 土と基礎, Vol. 35, No. 2, pp. 128-139. 10) Meshi et al. (1975); Geotech. 25, No. 3, pp. 527-554. 11) Meshi et al. (1977); Proc., ASCE, Vol. 103, No. ST3, pp. 417-430. 12) 大坪(1968); 第23回工学会年次講演会, 東京, pp. 139-143. 13) Ohmaki (1976); Proc., ASCE, Vol. 102, No. ST1, pp. 165-169.